

669.15'26-194.3: 669.14.018.8: 620.193: 620.199.620.196
(300) ステンレス鋼の耐錆性評価法と発錆因子

新日本製鐵(株) 光製鐵所 ○中田潮雄, 辻正宣
 小野山征生

I 緒言

ステンレス鋼の耐錆性については、その評価法があいまいであって系統的な研究が少ない。著者らは各種評価法を比較しつつ発錆因子の解明と使用限界条件の究明を試みた。

II 実験方法

(1)供試材: SUS405, 430, 304, 316, 11Cr-Ti, 17Cr-Ti, 17Cr-1Mo-Ti-Nb, 19Cr-2Mo-Ti-Nb の計 8 鋼種の市販用冷延鋼板(2B仕上げ)を用いた。一部の試験片は TiG なめ付け溶接を行なった。全面をエメリー研磨紙で #500 まで研磨し、アセトン洗浄とアルコール中超音波洗浄・ドライヤー乾燥を行なつたのち、耐錆性試験に供した。

(2)耐錆性試験: JIS 塩水噴霧試験とその改良法, Wet and Dry Test, 発露型腐食試験などを行ない、母地耐錆性として不働態保持限界 pH, 介在物溶解性試験として Micro Corrosion Test などを行なつた。いずれの試験とも腐食溶液の Cl^- 濃度と pH を変化させた。発露型腐食試験では SO_2 濃度を 0~2000 ppm に変化させた。

III 実験結果

(1) H^+ , Cl^- および空気が腐食因子となる乾湿環境の全体的耐錆性試験としては、JIS 塩水噴霧試験は不適である。 H_2O_2 を加えた塩水噴霧試験か Wet and Dry Test が腐食促進性、再現性、鋼種間判定能などの面で適している。発露型腐食試験では SO_2 20ppm で鋼種間序列为明瞭に認められる(図 1)。

(2)陽分極曲線の活性溶解ピーク電流密度から得られる各鋼種の不働態化能を、使用限界 pH¹⁾として求めた。図 2 は Cl^- を含まない水の場合であるが、 Cl^- 濃度の高い場合の限界 pH も求め耐錆性マップとして作図した。

(3)母地と非金属介在物の 3% $\text{NaCl} + \text{H}_2\text{SO}_4$ 溶液(空気開放, 35°C)中の溶解性を顕微鏡観察しつゝ比較する Micro Corrosion Test によれば、Ti 添加された鋼種ではおおむね母地の腐食が先行し、Ti 添加されていない鋼種ではオーステナイト系、フェライト系の区別なく介在物の溶解が先行する。表 1 は 17Cr-1Mo 鋼における結果を示す。

表 1. 17Cr-1Mo 鋼の Micro Corrosion Test 結果

	溶解が起こる限界 pH	
	母地	非金属介在物
SUS 434	<1.0 (3 min)	3.0 (180 min)
17Cr-1Mo-Ti-Nb	1.0 (20 min)	<0.35 (20 min)

1) 小泉: 防食技術, 27, 211 (1978)

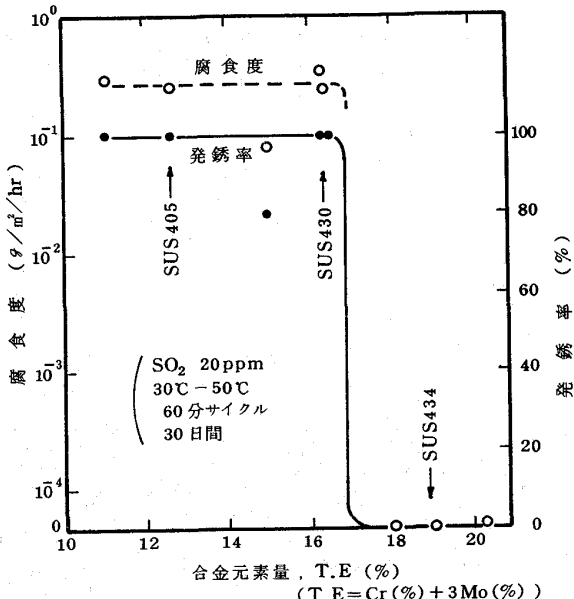


図 1. 発露型腐食試験結果

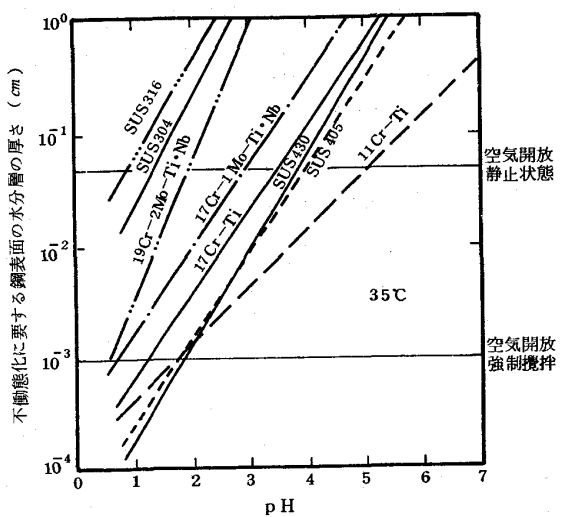


図 2. 各種ステンレス鋼の限界 pH 値による不働態化能の比較